

高等学校交流講義

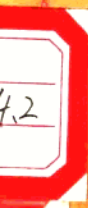
鍋內過程

陳學俊編

只限學校內部使用



中国工业出版社



8517953



高等学校交流講义



鍋內過程

陳學俊編

東北重型	15-842
机械学院	41
图书馆藏书印	

TK224.2//1

中国工业出版社



0660373



本書是根据1959年鍋爐制造专业指导性教育計劃中“鍋內過程”課程的教學大綱进行編寫的。全書共分十六章，內容包括：双相流动结构、沸騰管中热交換過程、汽泡穿層水动力學及双相流动阻力、水循環基本原理、特性曲綫分析、不稳定工况与水循環試驗、平行管圈中及联箱中水动力學、直流鍋爐不稳定工況、蒸汽清洁原理盐分溶解与沉淀、蒸汽情况与热化学試驗和鍋內過程的試驗研究方法与新技术的应用等。

本書可作为高等學校鍋爐专业四、五年制的交流講义，也可供熱能专业学生及有关的工程技术人员参考。



鍋內過程

陳學俊 編

中国工业出版社出版 (北京佟麟閣路丙 10 号)

(北京市書刊出版事業許可証出字第 110 号)

中国工业出版社第四印刷厂印刷

新华書店科技发行所发行·各地新华書店經售

*

开本 787×1092^{1/16} · 印张 12 · 字数 249,000

1961年10月北京第一版 · 1961年10月北京第一次印刷

印数 0001—1737 · 定价 (10—6) 1.45 元

统一書号: 15165 · 1074 (一机-223)

前　　言

鍋內過程是一門專業課，是在學習過鍋爐整體中有關鍋爐內部工作過程方面的一般知識的基礎上，進一步來闡明鍋爐內部工作過程的本質的同時，深入分析研究如何將這方面現有的最新成就應用到鍋爐工業上去，以保證鍋爐工業的安全性以及事實上也關係到經濟性的問題。此外，通過這一門課的內容學習，尚能初步了解鍋爐內部過程的發展方向和進行試驗研究的方法。鍋內過程是一門理論性較強的課程，它不同于基礎理論課，不僅具備嚴格的理論或數學分析，而且密切地與生產實踐相結合。它的內容包括熱交換過程，水動力學過程與熱化學過程三個主要方面，全部來自於生產實踐，是大量的試驗研究工作的結果。這些結果有的比較成熟，有的提高到經驗公式或得出它的規律性，有些還只是把試驗研究數據加以總結，作為生產上的參數；更有些問題还不够成熟，尚有待進一步探討。因此本課程各章中，在闡明鍋爐的內部工作過程時，有些內容有比較嚴格的理論分析，包括數學分析；有些限於理論分析；有些只能就試驗研究結果作本質上的理解和說明。

由於編寫時間匆促，同時限於編者的水平，本講義不正確的地方在所難免，尚希讀者加以指正。

陳學俊

一九六一，六月五日于西安

目 次

前 言	3
第一章 概論	7
§1-1 鍋內過程的重要意義	7
§1-2 鍋內過程的基本內容	8
§1-3 鍋內過程的研究方法	8
第二章 鍋內過程的一般特性	9
§2-1 概論	9
§2-2 双相流體的重量特性	9
§2-3 双相流體的容積特性	11
第三章 沸騰管中的流動結構與 熱交換過程	13
§3-1 受熱管子的溫度情況	13
§3-2 双相流體在圓管中流動時的 流動結構	15
§3-3 沸騰管中可靠性工作的條件與 熱交換過程	19
1) 沸騰放熱過程的一般規律	19
2) 在垂直沸騰管中的熱交換過程	21
3) 在水平沸騰管中的熱交換過程	25
第四章 汽泡穿層過程水動力學	31
§4-1 汽泡在水容積中的上升運動	31
§4-2 穿層過程中汽泡的大小與汽泡 穿層工況	33
1) 汽泡大小	33
2) 汽泡穿層工況	33
3) 壓水含鹽量對穿層水動力學的 影響	35
第五章 汽水混合物在圓管中流動 的壓頭損失	38
§5-1 重量壓頭損失	38
§5-2 加速壓頭損失	38
§5-3 摩阻壓頭損失	39
1) 對稱汽泡狀流動	39
2) 對稱汽柱狀流動(見圖 5-1)	40
§5-4 局部阻力損失	43
第六章 自然水循環	44
§6-1 水循環基本概念	44
§6-2 水循環線路及其計算	44
1) 流動壓頭與有效壓頭	45
2) 循環線路中的阻力	52
§6-3 水循環線路設計與計算應注意 之點	55
第七章 水循環的特性曲線及循環 可靠性的分析	58
§7-1 循環線路的全特性曲線的分析	58
1) 沸騰管中的全特性曲線	58
2) 特性曲線的進一步分析	60
§7-2 循環特性曲線的繪制	63
1) 簡單線路的循環特性曲線	64
2) 复雜線路的循環特性曲線	64
§7-3 循環可靠性的校核	68
1) 停滯與倒轉	68
2) 汽水分層與循環倍率	68
3) 下降管汽穴現象與汽化問題	72
第八章 自然循環的不穩定工況特性	74
§8-1 概況	74
§8-2 自然循環鍋爐的不穩定工況	74
1) 壓力變動下的水循環特性	75
2) 壓力允許的變動速度	76
第九章 水循環試驗	79
§9-1 水循環流速的測定	79
§9-2 下降管阻力的測量	80
§9-3 管壁溫度的測量	81
§9-4 水冷牆熱負荷的測定	82
§9-5 測點的位置	82
1) 測量流速時測點的位置	82
2) 測量流動壓頭和阻力時的 測點位置(見圖 9-9)	83
第十章 平行管圈中工質強制流動 水動力學	85
§10-1 热偏差	85
§10-2 蛇形管受熱面聯箱中的水動力學	88
1) 蛇形管受熱面的聯結系統	88
2) 汇集聯箱中壓力的變化	90
3) 分配聯箱中壓力的變化	91

4) 蒸汽分配的不均匀性	92	§13-6 超临界压力直流鍋爐中的盐分沉淀	144
5) 过热器节流圈的近似計算	93		
§10-3 垂直蛇形管中工質上下运动水动力学	95	第十四章 蒸汽清洗	149
§10-4 蒸发受热面中的水动力学	96	§14-1 蒸汽清洗的原理和作用	149
1) 水动力的不稳定特性	96	§14-2 蒸汽清洗过程的本質和清洗過程的效果	151
2) 脉動問題	99	§14-3 直流鍋爐的清洗分离裝置	154
第十一章 直流鍋爐水动力学的有关問題	102	1) 清洗分离裝置系統工作原理	154
§11-1 流动不稳定性与溫度偏差問題	102	2) 清洗裝置的效率	155
§11-2 联箱中汽水混合物沿管圈的分配問題	104	第十五章 热化学試驗	159
§11-3 脉動的防止方法	107	§15-1 进行热化学試驗的目的及进行条件	159
§11-4 直流鍋爐中的不稳定工況	113	§15-2 热化学試驗的內容	159
第十二章 蒸汽清洁与汽水分离装置原理	120	§15-3 爐水与蒸汽清洁度的检查	161
§12-1 蒸汽被污染的原因	120	§15-4 蒸汽和爐水的取样	165
§12-2 水滴与泡沫的形成及分碎	121	第十六章 鍋內過程的研究工作与新技术的应用	167
§12-3 影响蒸汽中机械帶出水滴与盐分的原因	124	§16-1 有效压头与真实容积汽含量的分析与研究	167
§12-4 汽水分离裝置	127	1) 有效压头的研究	167
§12-5 分段蒸发	129	2) 真实容积汽含量的分析研究	172
第十三章 蒸汽中盐分的溶解与沉淀	133	3) 在傾斜管中的有效压头与真实容积汽含量的研究	177
§13-1 饱和蒸汽中盐分溶解度与盐分携带問題	133	§16-2 放射性同位素在鍋內過程研究工作方面的应用	181
§13-2 硅酸的选择性携带与在汽輪机中的沉淀問題	135	1) 放射性同位素应用的原理	181
§13-3 盐类在过热蒸汽中的溶解与沉淀	137	2) 应用放射性同位素測定蒸汽清洁度	181
§13-4 超临界压力下盐分在蒸汽中的溶解度与給水品質对蒸汽品質的影响	140	3) 应用放射性同位素研究水动力學問題	186
§13-5 各种不同組成成份給水对超临界压力直流鍋爐蒸汽品質的影响	142	4) 应用放射性同位素来自動調節水位	191



第一章 概論

§ 1-1 鍋內過程的重要意義

在黨的社會主義建設總路線、大躍進、人民公社三面紅旗的光輝照耀下，在一整套兩條腿走路的方針指導下，我國工農業自1958年以來取得巨大成績。電力工業與其他工業一樣，也得到了迅速的發展。1960年我國發電量約為555～580億度。

對工業、農業、交通運輸業、公用事業及日常生活供電供熱，是發展國民經濟的最重要工作之一。

中心熱電站連續不斷地供應出電能和熱能，對保證國民經濟各部門正常工作有很大的意義，要使中心熱電站能連續的工作，首先應使它的主要設備能連續可靠地工作。根據一般統計，電站不能正常運行，往往是由於鍋爐的故障而引起的，因此使鍋爐連續可靠地工作就顯得非常重要。

以往鍋爐連續工作期限的長短，往往決定於磚牆、受熱面及通風機的磨損等，而在現代鍋爐中這方面已得到很大的改善，如水冷牆旋風燃燒的發展，除塵器的應用和改進，受熱面的合理布置等，因此近代鍋爐的主要問題常發生在鍋爐內部工作過程方面，例如水循環的破壞，水冷牆管和過熱器管的爆破等等，這都與鍋內過程的良好與否有關。可以說，鍋爐內部過程的可靠與否，對中心熱電站的可靠和經濟地工作有很大的關係，特別是今天，鍋爐已發展到超高參數，超臨界參數，以及單配一機一爐時，對鍋爐可靠安全工作的要求更高，問題也就顯得更重要了。此外，鍋爐內部工作過程是鍋爐工業發展中需要研究的中心問題，它的发展，促進了鍋爐工業的發展，鍋爐的發展又對它提出了更高的要求。

鍋內過程對鍋爐的影響歸納起來有以下幾點：

1) 鍋爐內部過程和鍋爐本身的效率直接關係不大，但嚴重的關係到它的可靠性，特別在向高參數發展，一方面要求高了，但另一方面鍋爐內部過程可靠性工作的條件却更差了，例如汽水分离更困難，自然循環更惡化了。

2) 鍋爐如因內部工作過程不良引起故障，則嚴重影響到整個電站的經濟性和可靠性，根據現有技術水平，鍋爐的連續工作期只有透平的一半，這說明我們在鍋爐內部工作過程方面必須大大努力，特別是發展到單配機組及大容量的時期，要求更高。

3) 蒸汽品質如不符要求，如過熱溫度，含鹽量等等，將不僅影響過熱器，而且使透平的工作受到了限制。後者常因之會降低出力和經濟性，甚至被迫停機。

4) 在目前我國電力工業發展速度尚趕不上國民經濟要求的時期，在某些情況下需要提高現有設備的努力，鍋爐出力的提高往往關連到內部工作過程的問題，因一般煤粉系統，風道系統等常有較大的儲備量，但提高出力將使受熱面工作條件以及發生的蒸汽品質趨向惡化，因此也極需研究鍋內過程問題。

5) 鍋爐內部工作過程是鍋爐發展方向的中心問題之一，鍋爐工業的猛攻尖端、攀登

高峰必需要研究鍋內過程。

§ 1-2 鍋內過程的基本內容

鍋爐內部工作過程包括以下幾個方面的內容：

1) 热交換過程——包括雙相流動結構，沸騰放熱過程及長期可靠工作條件等問題。

2) 水動力學過程——包括自然循環、強制循環汽水系統中的水動力學問題及變動工況問題。

3) 热化學過程——包括蒸汽品質問題，鹽分沉淀問題，受熱面內部腐蝕及結垢問題。

鍋爐內部過程即是研究鍋爐內部工作中所發生的上述三個方面問題，這些過程本身都是複雜的過程，特別在鍋爐內又是汽水混合物，而且這些過程又是綜合起來發生的。因此鍋爐內部過程不是簡單的而是極為複雜的問題，在這個領域內目前尚有不少問題還沒有很好解決，需要我們進行大量研究工作。

§ 1-3 鍋內過程的研究方法

研究鍋爐內部過程的方法總起來有三個方面：

1) 在試驗室模擬設備上進行研究：這往往是研究某一單獨過程的方法，目前我們有很多資料都是從這個方法得來的。

2) 在半工業的鍋爐上進行研究：在某一個問題在試驗室階段已初步了解，但又無十分把握時，往往在半工業性鍋爐上進行，這過程常是科學研究中不可缺少的一步，它可使我們明確地把新成就應用到工業上的可靠程度大大提高。

3) 在工業鍋爐上進行：這是把研究成果付之實踐的過程，因此也是很重要的一步，一般常常用來查明現有設備鍋內過程的工作情況，有些時候某些鍋內過程的規律也在試驗鍋爐或工業鍋爐上進行，不一定經過試驗室的階段。

由以上可看出，鍋內過程的研究和所有科學研究一樣在進行方法本質上是相同的，它是通過實踐——理論——實踐逐步提高的。

國外關於鍋內過程的研究工作方面，英美等資本主義國家，雖然鍋爐製造工業也相當發達，但這方面的工作和鍋爐其它方面一樣，沒有進行過有系統和深入的研究。蘇聯在這方面的成就是很大的，特別值得提出的是蘇聯科學院動力研究所，莫斯科動力學院等機關和學校與 M. A. 斯透利過維奇等人在這方面的成就。他們的工作不僅揭示了鍋內過程的本質，奠定了蘇聯鍋爐合理構造的理論基礎，並且指出了今后發展方向上應注意的問題。雖然如此，由於問題的複雜性，有很多問題還不夠清楚，有些問題還缺少完整的理論，甚至也還有些資料會彼此矛盾，都須要進一步研究。在本課程中所講的內容，大都採用蘇聯科學院動力研究所，莫斯科動力學院，全蘇熱工研究所以及各電站研究和運行積累的資料和成果。

我國在這方面的研究工作還只是個開始，在過去短短的幾年中，我們一方面結合當前的生產實際，如電站鍋爐鍋內過程調整試驗，進行了許多為解決當前生產問題和研究工作，另一方面結合我國鍋爐製造工業的發展方向作了許多理論上的準備和探討工作，但所有這些研究工作顯然還需要進一步加強，才能夠滿足我國動力工業日益發展的需要。

第二章 鍋內過程的一般特性

§ 2-1 概論

在鍋爐內部工作的工質有單相流體(水或蒸汽)，也有雙相流體(汽水混合物)。在各種動力鍋爐中，單相流體都是強制流動(省煤器中或過熱器中)。汽水混合物的雙相流動可以是自然循環(自然循環鍋爐中)也可以是強制流動(強制循環鍋爐)。關於單相流動問題比較簡單，雙相流動問題則較為複雜。

雙相流動有兩種類型，一種是壓差產生的流動，一種是氣泡穿層的流動。前一種流動是靠比重差(自然循環)或外加壓頭(水泵)而流動的，如沸騰管中的汽水混合物的正常流動，在雙相流體流動方向汽水混合物有一定流量。後一種穿層流動，則水相固定不流動或流動極慢，氣泡在其中上升，如鍋筒水容積中的情形以及沸騰管中發生循環停止時的情形。

在沸騰管中，不僅是雙相流動，而且由於發生集態變化各個相的數量也有變化的，但在穩定工況下，經過各個截面的水流量與蒸汽流量是一定的。蒸汽與水的速度彼此不同，決定於汽含量的大小，汽水混合物的流量，流動的方向和管子的位置等。

為了決定流動的結構(即沿管子截面的速度分配和相的分配)，為了研究沸騰管中及穿層過程中的水動力學和熱交換過程，必須要知道各相的重量流量與容積流量的流動特性。

§ 2-2 双相流体的重量特性

按穩定工況連續性的條件，單位時間內流經受熱管的任意截面的汽水混合物的重量流量等於進管子時的水的重量流量

$$G_0 = G_n + G_w = G_{ow}, \text{ 公斤/秒} \quad (2-1)$$

式中 G_0 ——進管子時水的重量流量，公斤/秒；

G_n , G_w , G_{ow} ——管子中蒸汽、水、汽水混合物的重量流量，公斤/秒。

單位時間內，經過管子截面的汽水混合物所攜帶的總熱量可用下式表示：

$$G_{ow} i = G_0 i = G_n i' + G_w (i' + \gamma) \quad (2-2)$$

或

$$i = \frac{i'(G_n + G_w)}{G_0} + \frac{G_w}{G_0} \gamma \\ = i' + \gamma x, \text{ 大卡/公斤} \quad (2-3)$$

式中 i ——汽水混合物的焓，大卡/公斤；

x ——蒸汽的重量干度，%；

i' ——飽和水焓，大卡/公斤；

γ ——汽化潛熱，大卡/公斤。

顯然，這些參數 (G_n, G_w, G_0, x) 只能表示流體的量及水與蒸汽的重量含量百分數，

而不能直接表示出流动的情况。

在大多数的情况下，用重量流量这一数值不方便，而系采用所谓蒸汽引用速度及水引用速度，即假定水与蒸汽占据了全部管子的流动截面积。

水引用速度（折算速度）

$$\omega'_o = \frac{G_o}{f\gamma'} \text{米/秒}$$

蒸汽引用速度 (2-4)

$$\omega''_o = \frac{G_o}{f\gamma''} \text{米/秒}$$

式中 f ——管子的截面积；米²；

γ' , γ'' ——水与蒸汽的比重量，公斤/米³。

循环水速，即水流量相当于流过管子截面中的汽水混合物的重量流量的水速，可用下式：

$$\omega_o = \frac{G_o + G_n}{f\gamma'} + \frac{G_{cm}}{f\gamma'} = \frac{G_o}{f\gamma'} \quad (2-5)$$

且

$$\omega_o \gamma' = \omega_o \gamma_{cm} \quad (2-6)$$

沿受热管长度蒸汽引用速度与水引用速度是在变化的，当 f 不变时，则 ω_o 、 ω'_o 、 ω''_o 之间关系由式 (2-1)(2-4)(2-5) 可以推得如下：

$$f(\gamma' \omega'_o + \gamma'' \omega''_o) = f\gamma' \omega_o$$

$$\omega_o = \omega'_o + \omega''_o \frac{\gamma''}{\gamma'} \quad (2-7)$$

汽水混合物的重量干度也很容易以引用速度来表示

$$x = \frac{G_n}{G_o} = \frac{G_n}{G_n + G_s} = \frac{1}{K}$$

式中 K ——循环倍率。

$$x = \frac{G_n}{G_o} = \frac{f\omega''_o \gamma''}{f\omega_o \gamma'} = \frac{\omega''_o \gamma''}{\omega_o \gamma'} \quad (2-8)$$

应当指出， ω_o 、 ω'_o 、 ω''_o 不能直接表示沿管子截面流体的分配情况，而只是流量参数。

汽水混合物的焓也可由以下的能量平衡关系求得。

由能量平衡式：

$$\int_{l_{m3}}^l G_o \cdot di = \int_{l_{m3}}^l q_i dl$$

式中 q_i ——单位长度热负荷，大卡/米·秒；

l_{m3} , l ——到沸点前长度及到所研究的管子截面的长度，米。（见图2-1）。

当热负荷 q_i =常数时，则上面的积分式可写成如下式：

$$G_o(i-i') = q_i(l-l_{rs}) \quad (2-9)$$

这个式子的关系也可应用于沿管子长度热负荷变化的情形，这时 q_i 应取该受热管段的平均值。

由式(2-9)可得在该受热管段的汽水混合物的焓

$$i = i' + \frac{q_i(l-l_{rs})}{w_o f \gamma'} \quad (2-10)$$

因此，知道沿管长的热负荷后，在给定的水流量下可以决定管路上任意截面处的汽水混合物的焓、蒸汽干度以及水、汽的引用速度。

§ 2-3 双相流体的容积特性

蒸汽与水的混合物沿管子截面的分配如图 2-2 所示，这时管子容积稳定区分为二部分，一部分中是蒸汽流过，一部分是水流过。这种区分是按水与蒸汽容积流量平均值（按时间及截面）进行的。蒸汽所占的截面部分的 f_n 表示，水所占的截面积部分以 f_b 表示，

则

$$f_n + f_b = f$$

蒸汽所占截面的分额即真实汽含量 φ ：

$$\varphi = \frac{f_n}{f} \quad (2-11)$$

蒸汽、水的容积流量与实际速度：

$$V_n = \frac{G_n}{\gamma''} = w_o'' f;$$

$$V_b = \frac{G_b}{\gamma'} = w_o' f, \text{ 米}^3/\text{秒} \quad (2-12)$$

由式(2-12)可以决定水与蒸汽的实际速度（绝对速度）

$$w_n^2 = \frac{V_n}{f_n} = \frac{w_o''}{\varphi}$$

$$w_b^2 = \frac{V_b}{f_b} = \frac{w_o'}{1-\varphi} \quad (2-13)$$

由式(2-13)可以得到下式：

$$\varphi = \frac{w_o''}{w_n^2}; \quad \varphi = 1 - \frac{w_o'}{w_b^2} \quad (2-14)$$

从上两式得到了 φ 与 w_n^2 及 w_b^2 之间的关系，例如当汽水混合物的重量流量不变时，如实际蒸汽速度增加，则 φ 减小，实际蒸汽速度减小则 φ 增加。

汽水混合物的实际比重量与实际速度，按已知的 φ 可以计算。汽水混合物的实际比重量（汽水混合物的重量与容积之比）

$$\gamma_{av}^2 = \frac{(f_n \gamma'' + f_b \gamma') \Delta l}{f \Delta l}$$

经过转换以后得到：

$$\gamma_{av}^2 = \gamma' - \varphi(\gamma' - \gamma'') = \gamma'(1-\varphi) + \gamma''\varphi \quad (2-15)$$

由式(2-1)及式(2-15)可以得到汽水混合物的实际速度：

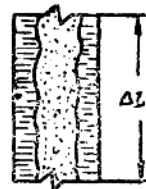


图 2-2 沿管子截面
汽水混合物的分配

$$\omega_{cm}^2 = \frac{G_{cm}}{\gamma_{cm}^2 f} = \frac{w_o \gamma'}{\gamma' - \varphi(\gamma' - \gamma'')} = \frac{w_o \gamma'}{\gamma'(1-\varphi) + \gamma''\varphi} \quad (2-16)$$

以上說明了 φ 与流量参数之间的关系。用这些关系式来决定蒸汽与水的实际速度、汽水混合物比重。因此，要研究双相流体运动规律，先要在流体的不同参数下决定 φ 值。

管中汽水混合物流动时的容积汽含量：

$$\beta = \frac{V_n}{V_n + V_a} = \frac{\frac{G_n}{\gamma''}}{\frac{G_n}{\gamma''} + \frac{G_a}{\gamma'}} = \frac{w_o'' f}{w_o'' f + w_o' f} = \frac{w_o''}{w_o'' + w_o'} \quad (2-17)$$

将式(2-7)代入上式则转换成

$$\beta = \frac{w_o''}{w_o + w_o'' \left(1 - \frac{\gamma'}{\gamma''}\right)} \quad (2-18)$$

因此 β 仅决定于流量参数(蒸汽、水的引用速度)。

汽水混合物的流量比重量与流量速度：

汽水混合物的流量比重量 γ_{cm} 可由下式表示：

$$\gamma_{cm} = \frac{G_{cm}}{V_{cm}} = \frac{G_n + G_a}{V_{cm}} = \frac{\gamma' V_n + \gamma'' V_a}{V_{cm}} = \gamma'(1 - \beta) + \gamma'' \beta \quad (2-19)$$

$$\text{或 } \gamma_{cm} = \frac{w_o \gamma' f}{w_o' f + w_o'' f} = \frac{w_o \gamma'}{w_o + w_o'' \left(1 - \frac{\gamma''}{\gamma'}\right)} = \frac{\gamma'}{1 + \frac{w_o''}{w_o} \left(1 - \frac{\gamma''}{\gamma'}\right)} \quad (2-20)$$

汽水混合物的流量速度：

$$w_{cm} = w_o + w_o'' \left(1 - \frac{\gamma''}{\gamma'}\right)$$

$$\text{或 } w_{cm} = \frac{V_{cm}}{f} = w_o' + w_o'' \quad (2-21)$$

真实容积汽含量 φ 与流量容积汽含量 β 之间的关系：

由式(2-14)(2-17)及(2-21)：

$$\varphi = \frac{w_o''}{w_n^2} = \frac{w_{cm}}{w_n^2} \times \frac{w_o''}{w_{cm}} = \beta \frac{w_{cm}}{w_n^2} \quad (2-22)$$

相对速度：

$$w_{ortn} = w_n^2 - w_n^2 = \frac{w_o''}{\varphi} - \frac{w_o'}{1 - \varphi} \quad (2-23)$$

$$w_{ortn} \varphi^2 - (w_o' + w_o'' + w_{ortn}) \varphi + w_o'' = 0 \quad (2-24)$$

$$\varphi = \frac{w_o' + w_o'' + w_{ortn}}{2w_{ortn}} - \sqrt{\frac{w_o' + w_o'' + w_{ortn}}{2w_{ortn}}}^2 - \frac{w_o''}{w_{ortn}} \quad (2-25)$$

由式(2-25)当 $w_o'' = 0$ 时， $\varphi = 0$

由式(2-24)当 $w_{ortn} = 0$ 时，

$$\varphi = \frac{w_o''}{w_o' + w_o''} = \beta$$

由此可见， φ 与 β ， γ_{cm} 与 γ_{cm}' ， w_{cm} 与 w_{cm}' 的差别，本质上是由于相对速度所引起的。

第三章 沸騰管中的流动結構与热交換過程

§ 3-1 受热管子的溫度情况

受热面的安全工作决定于管子金属的温度情况，温度提高时，则材料强度降低。每一种钢有它的极限工作允许温度，超过此温度要想长期工作而不发生破坏是不可能的。温度愈高，产生破坏愈快。假如管壁强度有周期性的变化，则管子破坏也可能在低于此极限温度时发生，在此情况下将引起附加的温度应力而使管子发生疲劳破坏。因此管子的安全工作决定于温度数值和温度变动的大小。

任何一个受热面的安全工作，决定于其中所有平行管圈的安全工作，即使一根管子坏了，也影响到整个受热面的安全工作，因此每一根管子的温度工作情况愈接近平均温度愈好。

管壁温度可由传热公式来计算，如下式：

$$t_{\text{ext}}^{\text{heat}} = t_{\text{pr}} + q \left(\frac{1}{\alpha_2} + \frac{\delta_m}{\lambda_m} + \frac{\delta_n}{\lambda_n} \right) ^\circ\text{C}, \quad (3-1)$$

式中 $t_{\text{ext}}^{\text{heat}}$ —— 外壁温度， $^\circ\text{C}$ ；

t_{pr} —— 工质温度， $^\circ\text{C}$ ；

δ_m, δ_n —— 壁及水垢厚度，米；

λ_m, λ_n —— 壁及水垢导热系数，大卡/米·时· $^\circ\text{C}$ ；

α_2 —— 内壁放热系数，大卡/米²·时· $^\circ\text{C}$ ；

q —— 经过单位外表面积的热流量或简称热强度，大卡/米²·时。

当经过多层简壁传热时，更准确一些的壁温计算可按下式计算：

$$t_{\text{ext}}^{\text{heat}} = t_{\text{pr}} + \frac{q}{\alpha_2} \cdot \frac{d_{\text{gap}}}{d_{\text{in}}} + 0.579q \frac{d_{\text{gap}}}{\lambda_m} \lg \frac{d_{\text{gap}}}{d_{\text{in}}} + \frac{q\delta_n}{\lambda_n} \quad (3-2)$$

式中 $d_{\text{gap}}, d_{\text{in}}$ —— 管子外径、内径，米。

一般决定管壁温度采用公式(3-1)比较简单，在大多数情况下，由此式计算的误差不大。由上两式可见，管子内外径之比愈接近于1及金属导热系数愈大，则误差愈小。

在计算高压锅炉过热器管子的壁温时，最好根据式(3-2)，因为即使温度只差几度，也要影响到金属强度。

从式(3-1)与(3-2)，管壁温度与导热系数 λ 、管壁厚度 δ 、工质温度 t_{pr} 、内壁放热系数 α_2 及热强度 q 等因素有关。内壁由于积垢的热阻在大多数情况下很小，可以略而不计，因在近代锅炉中一般不允许有水垢存在。

从金属工作的观点，管壁温度过高则产生危险的工作情况，这在工质温度 t_{pr} 及热强度 q 高的管段或者在内壁放热系数 α_2 及 λ/δ 小的管段中发生，特别是上述两种情况同时存在时更严重。因此，为了受热面的可靠工作，必须校核管壁温度最高的管子部分的壁温数值的大小。

工質溫度 t_{pr} 視鍋爐的參數而定，而且各個受熱面處的數值不相同，如過熱器中工質溫度較高，沸騰管中接近飽和溫度。

熱強度 q 對受熱面的可靠性影響很大，決定於受熱面所處的位置。對於粉煤爐的輻射受熱面而言，平均熱強度 $q_{cp}=50\sim 200 \times 10^3$ 大卡/米²·時，燃燒固体燃料的最大熱強度是在火焰中心區域，這時 $q=250\sim 300 \times 10^3$ 大卡/米²·時。對於液體燃料最大熱強度 $q=500\sim 600 \times 10^3$ 大卡/米²·時。

裝在爐壁上的水冷牆受熱面，熱強度沿管子周界的分配是不均勻的，面向爐壁的一面吸收最大的熱量，而在管子的背面只吸收來自磚工反輻射的熱量，因此沿管子周界的管壁溫度也是不同的。

雙面露光水冷牆的平均熱強度按管子全部周界計算，約為放在爐壁上水冷牆的一倍，至於最大的局部熱強度值則與一般水冷牆相差不多。

在對流受熱面中，熱強度 q 很少超過 $50\sim 75 \times 10^3$ 大卡/米²·時，特別是離爐子較遠的受熱面，它的熱強度降低到 $2\sim 10 \times 10^3$ 大卡/米²·時。

內壁放熱系數 α_2 當管中流動的是單相流體時，可按下式計算：

$$\alpha_2 = B \frac{(w\gamma)^{0.8}}{d_s^{0.2}} \quad (3-3)$$

式中 $B=0.24 \left(\frac{C_p}{\mu} \right)^{0.4} \lambda^{0.6}$ ——決定工質種類及工質溫度的一個系數。

從式(3-3)可見，放熱系數 α_2 直接與 $(w\gamma)^{0.8}$ 成比例，因此可以用于高重量速度 $w\gamma$ 來提高放熱系數。

對於水而言，表征物理參數的系數 B 是隨着壓力和溫度的變化而變化，如圖(3-1)所示。

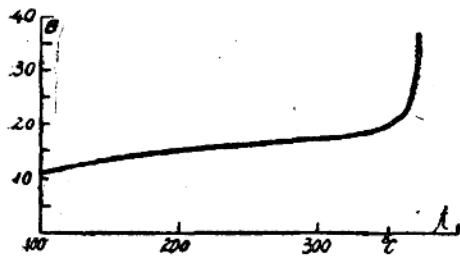


圖 3-1 系數 B 與溫度的關係

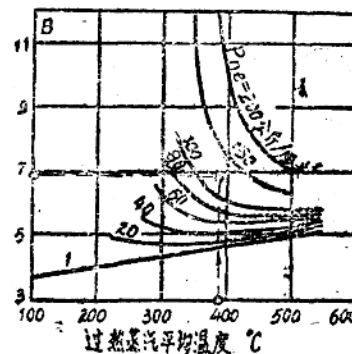


圖 3-2 系數 B 與蒸汽溫度的關係

圖中示出在飽和線上系數 B 與溫度的關係。

對於蒸汽而言，隨著壓力和溫度的不同，系數 B 的變化很大，如圖 3-2 所示。當蒸汽參數接近臨界值時，此系數大大增加。離飽和線愈遠，系數與壓力、溫度的關係愈小。

在接近臨界區域內，蒸汽的物理參數與溫度的關係愈密切，由於按壁溫度和氣流溫度所求得的物理常數的差別很大，因此根據式(3-3)計算 α_2 將帶來很大的誤差。在此情



0660373

15

况下，建議采用下式：

$$N_u = 0.023 R_e^{0.8} Pr_{\text{修正}}^{0.8} \quad (3-4)$$

或

$$\alpha_2 = 0.023 \frac{\lambda}{d} R_e^{0.8} Pr_{\text{修正}}^{0.8} \quad (3-5)$$

在上两式中 N_u 及 R_e 准則数中的物理常数按气流温度計算， Pr 准則数中的物理常数按气流温度或壁温度計算：

当 $Pr_{\text{修正}} < Pr_{\text{修正}}$ 时，根据气流温度：

当 $Pr_{\text{修正}} > Pr_{\text{修正}}$ 时，根据壁温度。

在管中为双流流时，内壁放热系数 α_2 一般很大，达 $10 \sim 50 \times 10^3$ 大卡/米²·时°C，并且当热强度增加时， α_2 也增加，直到 q 增加到临界热强度 q_{cp} 时， α_2 将很快下降，使管壁有过热的危险。内壁放热系数何时下降及它的数值大小，均与管中流动情况有关，因此，必須深入研究管中的双相流体的流动結構及其工况及影响流动結構的因素。

§ 3-2 双相流体在圆管中流动时的流动結構

任何一种液体在管中运动，可以由一定的速度場來体现它的特征，由于粘性力的作用，沿管子截面的流速是变化的，在管壁处速度梯度最大，愈向管子中心愈减小，由动力学已知速度的外形在等温情况下是由雷諾准則数之值来决定。在不等温情况下，单相的速度外形除雷諾准則数外，还受温度梯度及流体流动方向(上升还是下降)的影响。

如图 3-3 所示。在向上流动中液体被冷却时的速度外形比等温流动还要突出，这时位于管子中心的流体热的部分具有最大的速度。

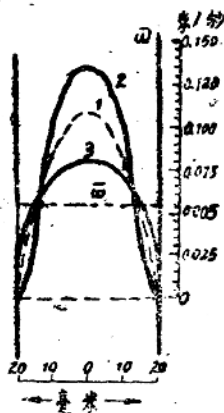


图 3-3 在层流时管内流速分布
(上升流动)

1—等温流动；2—液体的冷却；
3—液体的加热；4—介质温度变化。

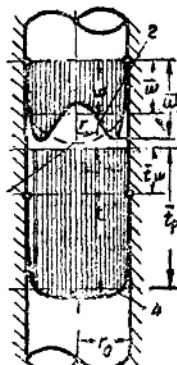
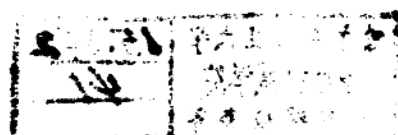


图 3-4 在紊流时管内流速分布
(下降流动)

(图注同图 3-1)

在下降流动时(图 3-4)，液体較高溫部分在管子中心，使流体具有大的比容，使流体流动迟緩了一些。

因此在上升流动中，液体較輕的部分比主流快一些，而在向下流动中比主流慢一些。这种情况对层流情况及紊流情况都是正确的。



双相流体流动沿管子截面速度变化也具有相似的特征。在双相流动中，速度场不仅决定于流动状况，尚需知道沿管子截面各相密度的分布，即流动的结构情况。

沿管子的截面，蒸汽的容积的分布，随着时间在一般情况下是不均匀的，因此，蒸汽的速度将大于或小于水的速度，决定于蒸汽泡处于何种有利情况。例如，当向上流动时（垂直管中），与液体冷却下的流动相似，液体轻的部分——即相当于蒸汽泡，它们是位于管子的中心，因此蒸汽的平均速度大于水的平均速度。当向下流动时，汽泡成环形接近管子周界，这些蒸汽的平均速度小于水的平均速度（见图3-5）。

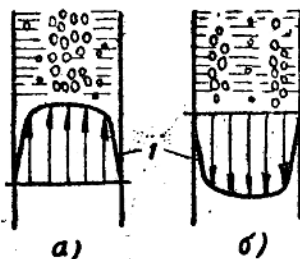


图 3-5 在垂直管中流动蒸汽相的分布
a—上升；b—下降；1—速度场。

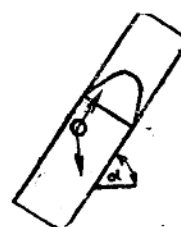


图 3-6 汽水混合物流动时
对汽泡上的作用力

管子倾斜程度很自然也影响到沿管子截面相的分布。在垂直管中，流动是对称的，在倾斜与水平管中由于重力作用，使重的相（水）下沉到下方。参见图3-6与图3-7。



图 3-7 汽水混合物的分层工况

流动结构的知识不仅是决定平均的流动特性、比重、汽水混合物的流速及其他等等，而且在很大程度上要决定管壁冷却的安全条件。

现有的在理论上解决双相流动问题的分析，只能从流体的运动学，在质的方面判断沿管子截面蒸汽的分配情况。更具体更详细的了解流动结构以及在量的关系，主要是根据试验数据。以前主要依靠观察的方法来研究，因此，在高压时就往往用测量管壁温度的变化间接推断其中的流动结构。近年来应用 γ ——射线探测法，使我们对于高压时的流动结构也有了进一步的認識。

1) 在垂直管中汽水混合物的流动结构 ($\alpha=90^\circ$)。

两相流动结构与汽水混合物速度，容积汽含量，压力与管子倾斜角度等有关（当工质种类及进口条件确定后），流动情况如图3-8所示。

在上升流动中，当蒸气量少时，蒸气在管子中心部分流动，随着蒸气含量增加，汽泡开始形成比较大的汽弹，几乎占据管子全部中心部分，其中尚包含小汽泡与水。当汽

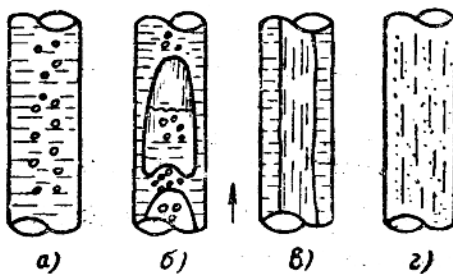


图 3-8 两相混合物在管中流动结构
a) 汽泡状；b) 汽弹状；c) 汽柱状；d) 乳状。